

開水路流れの中の円柱の相互干渉(第3報)

大阪市立大学工学部 正会員 永井莊七郎
 同上 倉田 光彦
 大阪市 " 伊藤 忠
 戸田建設 " ○高尾 優行

図-1に示すように、開水路流れの中に同じ直径の2本の円柱を流れに平行に置いた場合、それぞれの円柱に働く力(抗力、抵抗)の大きさと円柱間の間隔との関係を明らかにした。

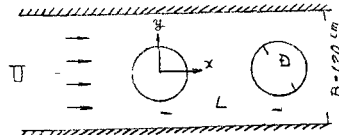


図-1 流れに平行に置かれた2本の円柱

(1) 実験設備および方法

実験は大阪市立大学工学部河海工学実験場の幅1.2m, 長さ40m, 深さ0.8mの開水路を用いておこない、直径 $D=20\text{ cm}$ および 30 cm のしんちゅう製の円柱を、2本の中心間隔 $L=22\text{ cm}$ あるいは $33\text{ cm} \sim 150\text{ cm}$ で流れに平行に置き、流速 $U=21.2\text{ cm/sec}$ ～ 60.3 cm/sec の範囲に変化させ、水深 $h=50\text{ cm}$ と一定にした。円柱に働く力は歪ゲージを用い、2本の円柱のそれぞれに働く力 F_u , F_d および1本の円柱が単独におかれた場合の力 F_{∞} を測定した。

(2) 前方円柱に働く力 F_u ($D=20\text{ cm}$ の場合)

$D=20\text{ cm}$ の場合の F_u と F_{∞} との比 $K_u=F_u/F_{\infty}$ の L/D による変化を示したもののが図-2である。 K_u の L/D による変化は、図-2に示した $D=10\text{ cm}$ の場合の K_u の変化^{(1), (2)}とよく一致しており、 $L/D=1.1 \sim 2.0$ では $K_u=0.85 \sim 0.93$ に変化し、 $L/D > 2$ になれば、 $K_u \approx 0.93 \sim 0.97$ とほぼ一定値を示すようである。

(3) 後方円柱に働く力 F_d ($D=20\text{ cm}$ の場合)

F_d と F_{∞} との比 $K_d=F_d/F_{\infty}$ を図-3に示す。図-3に示すように、 K_d の L/D による変化は $D=20\text{ cm}$ の場合と $D=10\text{ cm}$ の場合^{(1), (2)}とはよく一致している。

水路幅 B と円柱直径 D との比 B/D が $5.5 \sim 6.0$ より大きくなれば、単独円柱に働く力 F_{∞} におよぼす水路側壁の影響はほぼ無視できることは明らかにされているが^{(1), (2)}、2本の円柱を流れに平行に置いた場合の、それぞれの円柱に働く力についても、 $D=10\text{ cm}$, $B/D=22.0$ の場合の値と、 $D=20\text{ cm}$, $B/D=6.0$ との値が一致し、 $B/D=6.0$ では水路側壁の影響がほぼ無視しうるであろうということは興味深いことである。

(4) 後流の中心軸上の流速と後方円柱に働く力との関係 ($D=20\text{ cm}$ の場合)

$D=10\text{ cm}$, $B/D=22.0$ の場合には、 K_d の L/D による変化と、単独円柱背後の後流の中

IV軸上の流速 U_0 と円柱前面の一様流速 U との二乗比 $V_2 = \frac{U_0 U_0}{U^2}$ の変化とはよく一致するこ
とが報告されている。¹⁾ $D=20\text{ cm}$ の場合の K_d と V_2 とを比較したものが図-4である。図
-4に示すように、 $L/D < 2$ では V_2 と K_d とは一致しているが、 $L/D > 2$ になれば V_2 と
 K_d とは一致しなくなる。この原因については、後流の自由な発達か水路幅 B によって制
限されること等が考えられるが、詳細は明らかになっていない。

$D=30\text{ cm}$ の場合については、詳細な検討をおこなっていないので、次の機会に報告し
たい。

[参考文献]

(1) 永井・唐田；開水路流
れの中の円柱の相互干渉、
土木学会論文報告集 No.196,
1972. 12

(2) 永井庄七郎；水理学
(改訂増補版) コロナ社

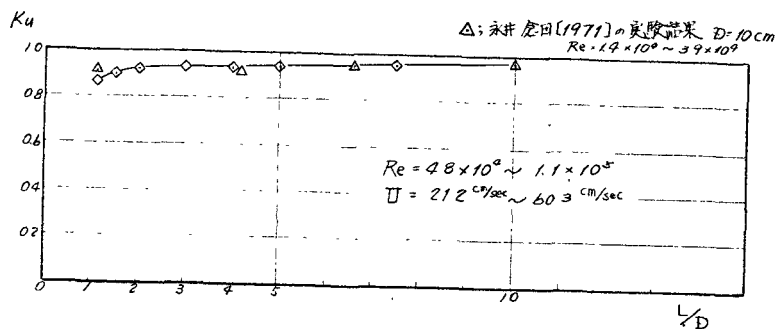


図-2 K_u と L/D の関係

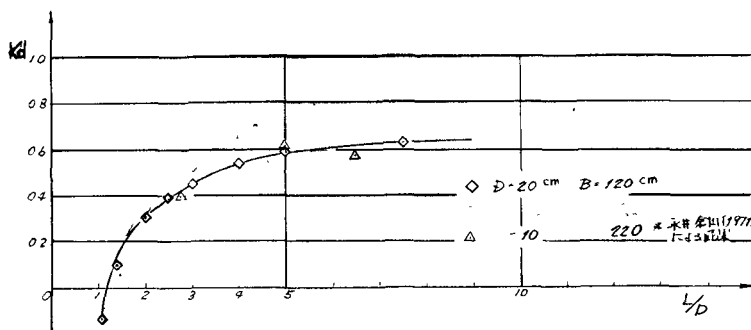


図-3

K_d と L/D の
関係

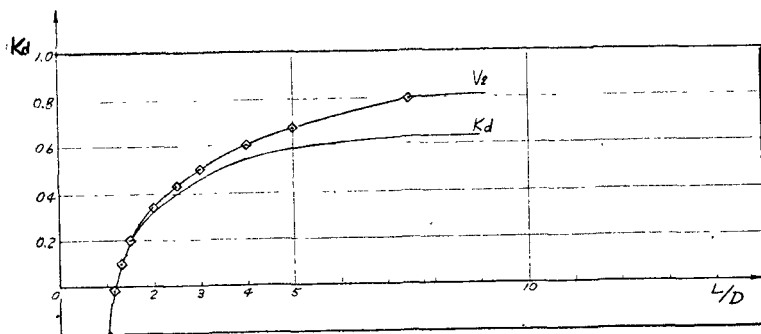


図-4

K_d と V_2 の
比較